

где

$$\begin{aligned} v_e &= 978\,032,952 \text{ мГал}; \\ v_{\varphi} &= v_e(1 + 0,005319 \sin^2 \varphi + 0,000100 \sin^4 \varphi - \\ &- 0,000212 \sin^6 \varphi + 0,000088 \sin^8 \varphi), \end{aligned} \quad (5)$$

где

$$v_e = 978\,033,368 \text{ мГал}.$$

В заключение отметим, что полученные нами геометрия нетрациональной Нормальной Земли [2] и разываемое ею «нормальное» гравитационное поле, описанное здесь, дают пока лишь общую качественную картину, связанную с выделением из фигуры реальной Земли и ее гравитационного поля их главных частей, соответственно предположениям теории гидростатически равновесных фигур планет. Как отмечено в [1], это существенно для геофизики (при интерпретации планетарных и региональных свойств планет) и для геодезии (для уменьшения «возмущающего» потенциала Земли).

Установление количественных соотношений, вытекающих из концепции построения нетрациональной Нормальной Земли, требует дальнейшего обсуждения и исследований, в первую очередь связанных с отбором исходной информации.

1. Мещеряков Г. А. О Нормальной Земле // Геодезия, картография и аэрофотосъемка. 1986. Вып. 43. С. 64—71. 2. Мещеряков Г. А., Азева Н. Ф. Предварительный вариант нетрадиционной Нормальной Земли // Геодезия, картография и аэрофотосъемка. 1986. Вып. 44. С. 58—63. 3. Cunningham L. E. On the Computation of the Spherical Harmonic Terms Needed During the Numerical Integration of the Orbital Motion of an Artificial Satellite // Celest. Mech. 1970. V. 2. P. 207—216.
4. Letch F. J., Putney B. H., Wagner C. A., Klosko S. M. Goddard Earth Models for Oceanographic Applications (GEM10B and 10C). Presented at the Marine Geodesy Symposium. Miami. 1980. 5. Moritz H. Geodetic Reference System 1980 in the Geodesist's Handbook 1980 // Bulletin Geodesique. 1980. V. 54, № 3. P. 395—405.
6. Reigber C. H., Müller H., Rizos Ch. et al. An Improved GRIM3 Earth Gravity Model (GRIM3B) // Proceedings of the IAG Symposia. 1983. V. 1. P. 388—415.

Статья поступила в редакцию 08.01.89

УДК 528.4/16

Н. Ф. МОНИН

## СОВМЕСТНОГО УРАВНИВАНИЯ ИЗМЕРЕНИЙ И ИСХОДНЫХ ДАННЫХ

В [2] получены формулы, определяющие обратный вес любой линейной функции в геодезической сети, уравненной коррелатным и параметрическим методами. При уравнивании учитывали ошибки исходных данных и определяли поправки не только в измеренные величины, но и в исходные данные. В формуле обратного веса па-

раметрического метода [2] не учтено слагаемое, зависящее от корреляционной матрицы  $Q_{\mu}$  ошибок исходных данных. Приведем вывод точной формулы для вычисления обратного веса. Уравненные значения измеренных величин вычисляют по формуле [2]

$$l_1 = l - BN_{11}^{-1} B^T Q^{-1} L - RN^{-1} R^T Q^{-1} L + L, \quad (1)$$

где  $l$  — матрица-столбец измеренных величин в геодезической сети с корреляционной матрицей  $Q$ ,

$$N = N_{22} + Q_{\mu}^{-1} - N_{12}^T N_{11}^{-1} N_{12}; \quad N_{11} = B^T Q^{-1} B; \quad N_{12} = B^T Q^{-1} B_{\mu};$$

$$N_{22} = B_{\mu}^T Q^{-1} B_{\mu}; \quad R^T = B_{\mu}^T - N_{12}^T N_{11}^{-1} B^T; \quad L = M_0 + B_{\mu} M - l;$$

$L$  — матрица-столбец свободных членов параметрических уравнений;  $B$  — прямоугольная матрица коэффициентов;  $M$  — матрица столбец исходных данных с корреляционной матрицей  $Q_{\mu}$ ;  $M_0$  — некоторая матрица приближенных исходных данных;  $Q_{\mu}^{-1}$ ,  $Q_{\mu}^{-1}$  — обратные матрицы;  $t$  — знак транспонирования матриц;  $B_{\mu}$  — параметрическое уравнение.

Как известно [1], корреляционная матрица любой линейной матричной функции  $F = F_0 + A_0 l$ , где  $F_0$  и  $A_0$  — постоянные параметры, а  $l$  — матрица-столбец измерений, определяется формулой

$$Q_F = A_0 Q_l A_0^T. \quad (2)$$

Пользуясь правилом (2) и формулой (1), нетрудно получить  $Q_{l_1}$  — корреляционную матрицу уравненных величин  $l_1$ . Для ясности вывода сначала в (1) подставим вместо свободного члена его значение

$$l_1 = l - BN_{11}^{-1} B^T Q (M_0 + B_{\mu} M - l) -$$

$$- RN^{-1} R^T Q^{-1} (M_0 + B_{\mu} M - l) + M_0 + B_{\mu} M - l. \quad (3)$$

Затем в (3) выделим слагаемые, зависящие от  $l$  и от  $M$ :

$$BN_{11}^{-1} B^T Q^{-1} l, \quad RN^{-1} R^T Q^{-1} l,$$

$$(E - BN_{11}^{-1} B^T Q^{-1} - RN^{-1} R^T Q^{-1}) B_{\mu} \cdot M. \quad (4)$$

Теперь по (2) из выражений (4) находим корреляционную матрицу уравненных значений  $l_1$ :

$$Q_{l_1} = BN_{11}^{-1} B^T + RN^{-1} R^T Q^{-1} RN^{-1} R^T + C Q_{\mu} C^T, \quad (5)$$

где  $C = (E - BN_{11}^{-1} B^T Q^{-1} - RN^{-1} R^T Q^{-1}) B_{\mu}$ ;  $E$  — единичная матрица.

Пусть надо найти обратный вес уравненной функции  $F(l_1)$ . Приведем функцию к линейному виду относительно уравненной величины  $l_1$ :

$$F \{l + (l_1 - l)\} = F(l) + (l_1 - l) \frac{\partial F}{\partial l} + \dots \approx F_0 + f l_1, \quad (6)$$

Применяя (2), (6) и (5), получаем окончательную формулу обратного веса любой линейной функции в параметрическом методе уравнения

$$\frac{1}{P_F} = f^T B N_{11}^{-1} B^T f + f^T R N^{-1} R^T Q^{-1} R N^{-1} R^T f + f^T C Q_\mu C^T f. \quad (7)$$

В качестве примера оценим по формуле (7) уравненное превышение  $h_2$  и уравненную высоту  $H_2$  нивелирной сети, изображенной на рисунке. В данной сети два исходных пункта, три определяемых и пять измеренных превышений. Пусть корреляционные матрицы измерений и исходных данных равны единичным матрицам пятого

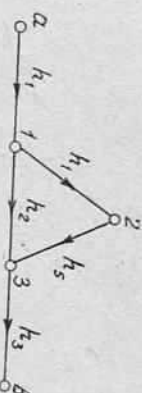


Схема нивелировки.

и второго порядков. Ниже приведены уравнения поправок параметрического метода, необходимые матрицы и результаты вычислений по формуле (7):

$$\begin{aligned} V_1 &= \delta H_1 - \delta H_a + (H_1 - H_a - h_1), \\ V_2 &= -\delta H_1 + \delta H_3 + (H_3 - H_1 - h_2), \\ V_3 &= \delta H_3 + \delta H_b + (H_b - H_3 - h_3), \\ V_4 &= -\delta H_1 + \delta H_2 + (H_2 - H_1 - h_4), \\ V_5 &= -\delta H_2 + \delta H_3 + (H_3 - H_2 - h_5). \end{aligned}$$

или в матричном виде

$$BX + B_\mu \delta M + L = V, \quad (8)$$

где  $V$ ,  $X$ ,  $\delta M$  — поправки в измеренные превышения и высоты определяемых и исходных пунктов соответственно

$$B = \begin{bmatrix} 1 & 0 & 0 \\ -1 & 0 & 1 \\ 0 & 0 & -1 \\ -1 & 1 & 0 \\ 0 & -1 & 0 \end{bmatrix}; \quad B_\mu = \begin{bmatrix} -1 & 0 \\ 0 & 0 \\ 0 & 1 \\ 0 & 0 \\ 0 & 0 \end{bmatrix}; \quad B^T B = \begin{pmatrix} 3 & -1 & -1 \\ -1 & 2 & -1 \\ -1 & -1 & 3 \end{pmatrix};$$

$$(B^T B)^{-1} = \frac{1}{8} \begin{pmatrix} 5 & 4 & 3 \\ 4 & 8 & 4 \\ 3 & 4 & 5 \end{pmatrix}, \quad B_\mu^T B_\mu = \begin{pmatrix} 1 & 0 \\ 0 & 1 \end{pmatrix};$$

$$N = \frac{1}{8} \begin{pmatrix} 11 & -3 \\ -3 & 11 \end{pmatrix}, \quad N^{-1} = \frac{1}{14} \begin{pmatrix} 11 & 3 \\ 3 & 11 \end{pmatrix}, \quad N_{12}^T = \begin{pmatrix} -1 & 0 & 0 \\ 0 & 0 & -1 \end{pmatrix};$$

$$R = \frac{1}{8} \begin{pmatrix} -3 & 3 \\ -2 & 2 \\ -1 & 1 \end{pmatrix};$$

$$RN^{-1}R^T = \frac{1}{4 \cdot 14} \begin{vmatrix} 9 & 6 & 9 & 3 & 3 \\ 6 & 4 & 6 & 2 & 2 \\ 9 & 6 & 9 & 3 & 3 \\ 3 & 2 & 3 & 1 & 1 \\ 3 & 2 & 3 & 1 & 1 \end{vmatrix}; \quad BN_{11}^{-1} = \frac{1}{8} \begin{vmatrix} 5 & 4 & 3 \\ -2 & 0 & 2 \\ -3 & -4 & -5 \end{vmatrix};$$

$$f^T B^T N_{11}^{-1} B f = 0,50$$

$$f^T R N^{-1} R^T R N^{-1} R^T f = \frac{96}{4^2 \cdot 14^2} = 0,03$$

$$f^T C \cdot C^T f = \frac{2}{7^2} = 0,04$$

$$1/P_F = \frac{8}{7^2} = 0,16$$

#### Результаты вычислений

$$1/P_{h_2} = ? \quad 1/P_{H_2} = ?$$

$$(0 \ 1 \ 0 \ 0 \ 0) \quad (1 \ 0 \ 0 \ 1 \ 0)$$

$$1/P_{H_2} = 1$$

$$1/P_{h_2} = 0,50 + 0,03 + 0,04 = 0,57,$$

$$1/P_{H_2} = 1 + 0,12 + 0,16 = 1,28,$$

что совпадает с оценками коррелатного метода, полученнымными в [2].

Таким образом, формула (7) уточняет аналогичную формулу в [2], так как обратные веса уравненного превышения  $h_2$  и уравненной высоты  $H_2$  составляют

<sup>1</sup> Большаков В. Д., Маркузе Ю. И. Городская полигонометрия. М., 1979.  
<sup>2</sup> Морин И. Ф. Совместное уравнение измерений и исходных данных // Геодезия, картография и аэрофотосъемка. 1985. Вып. 41. С. 94.

Статья поступила в редакцию 23.10.85